



同济大学 本科毕业设计

不可压流体的模拟、渲染和应用研究

1452286 朱可仁
指导老师：赵君峤



内 容

- 课题背景和工作概述
- 流体的并行化模拟
- 流体的并行化表面重建和渲染
- 演示



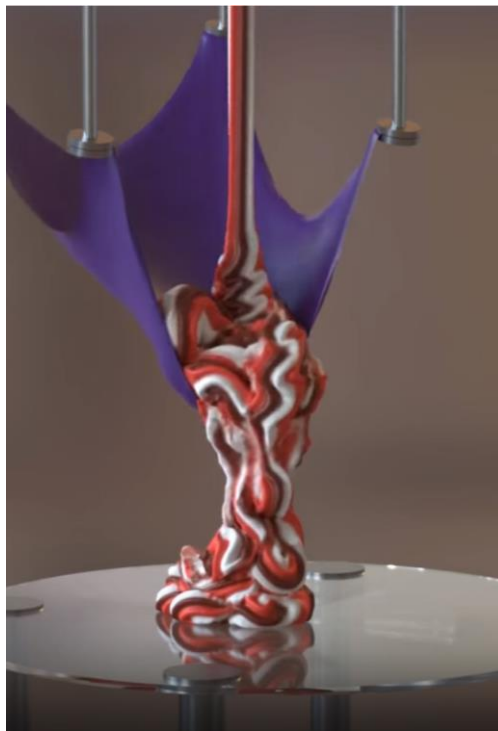
流体的范畴



液体[1]



烟尘[2]



冰淇淋[3]

物理真实、大计算量
离线算法

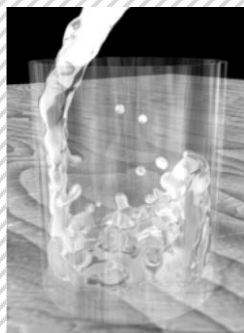
[1] Realflow. <http://docklandsmedia.com/course/realflow-training/>

[2] A. Chern, et al., "Schrödinger's smoke," *ACM Trans. Graph.*, vol. 35, no. 4, pp. 1–13, Jul. 2016.

[3] C. Jiang, et al., "The affine particle-in-cell method," *ACM Trans. Graph.*, vol. 34, no. 4, p. 51:1-51:10, Jul. 2015.



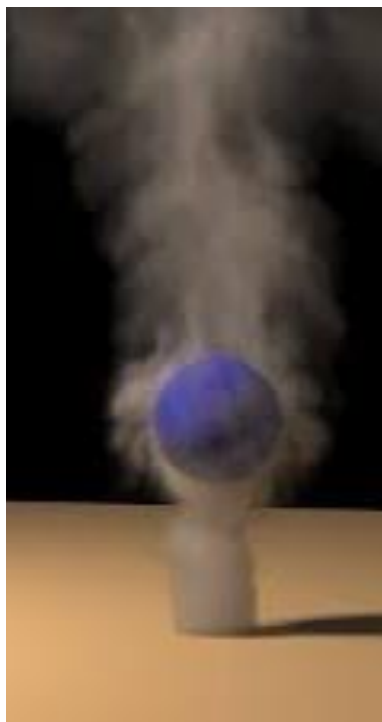
本文的研究



液体[4]



爆炸[5]



烟尘[6]

视觉真实、小计算量
实时算法

[4] M. Müller, et al., "Particle-Based Fluid Simulation for Interactive Applications," *Proc. 2003 ACM SIGGRAPH*, no. 5

[5] D. Q. Nguyen, et al., "Physically based modeling and animation of fire," *ACM Trans. Graph.*, vol. 21, no. 3, 2002.

[6] R. Fedkiw, et al., "Visual simulation of smoke," *Proc. 2001 SIGGRAPH*, pp. 15–22.



背景和现状

- 模拟算法不符合物理规律（如：不满足不可压性质 $\nabla \cdot \boldsymbol{v} = 0$ ）
- 模拟算法没有充分挖掘现代硬件的性能，实时性不好
- 渲染算法重建液体表面代价高昂
- 渲染算法表面着色模型不够真实



背景和现状

- 模拟算法不符合物理规律（如：不满足不可压性质 $\nabla \cdot \mathbf{v} = 0$ ）
- 模拟算法没有充分挖掘现代硬件性能，实时性不好
- 渲染算法重建液体表面代价高昂
- 渲染算法表面着色模型不够真实

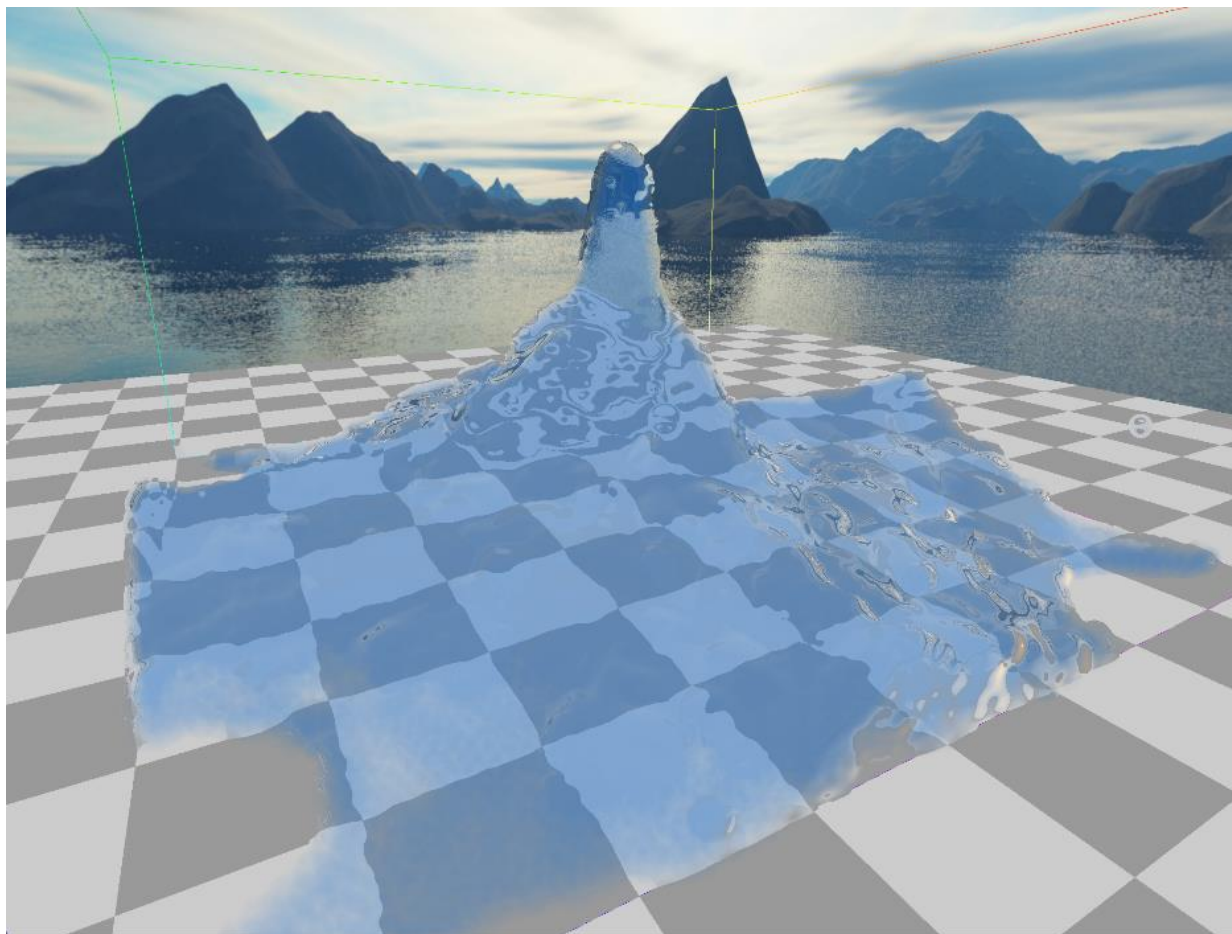
本文的贡献：具有真实感的实时流体模拟和渲染

- 使用CUDA给出了基于位置的流体（Position Based Fluids）[7]的并行化实现
- 使用OpenGL给出了液体的屏幕空间渲染（Screen-space Rendering）[8]的并行化实现
- 提出使用双边滤波平滑液体表面的深度纹理
- 提出具有真实感的液体表面着色模型

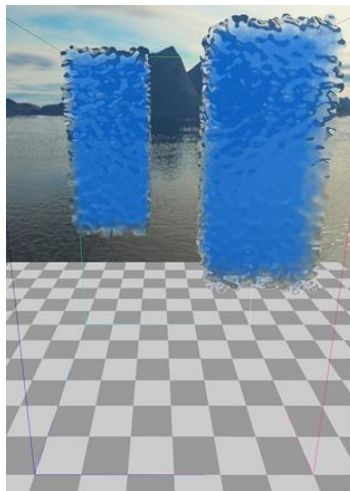
[7] M. Macklin, et al., "Position based fluids," *ACM Trans. Graph.*, vol. 32, no. 4, p. 1, Jul. 2013.

[8] W. J. van der Laan, et al., "Screen space fluid rendering with curvature flow," *I3D '09*, 2009, p. 91.

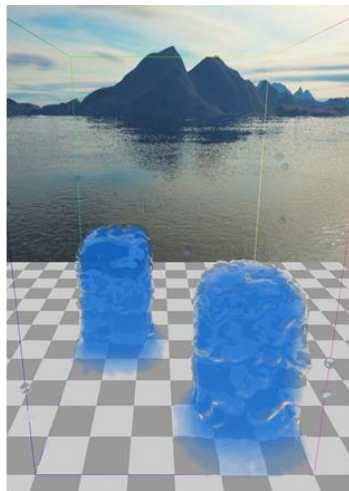
本文的结果



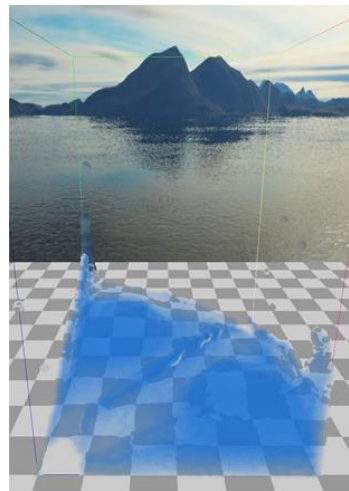
本文的结果



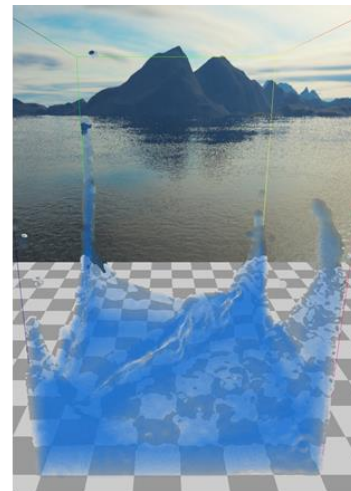
Frame 0



Frame 80



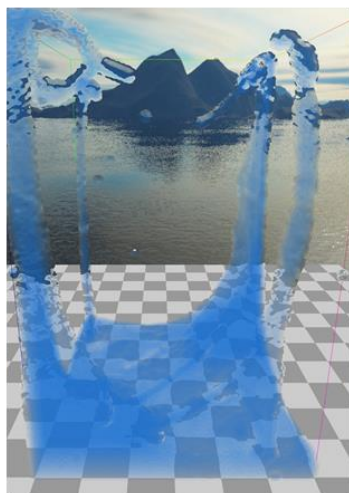
Frame 101



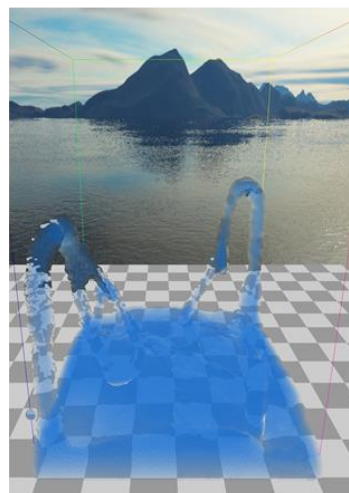
Frame 120



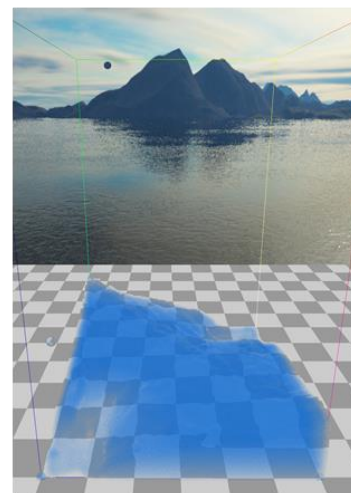
Frame 147



Frame 195



Frame 265



Frame 335



内 容

- 课题背景和工作概述
- 流体的并行化模拟
- 流体的并行化表面重建和渲染
- 演示



NS方程

Navier-Stokes方程组描述了流体运动的规律

不可压条件 $\nabla \cdot \mathbf{v} = 0$

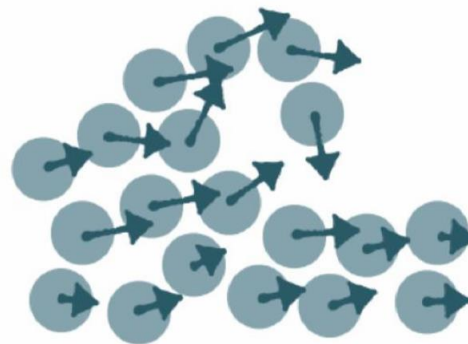
动量方程 $\rho \frac{D\mathbf{v}_i}{Dt} = \rho \mathbf{g} - \nabla p + \mu \nabla^2 \mathbf{v}$

粒子加速度

压强力

传统方法

- 不考虑不可压性
- 使用经验公式计算压强
(例如：粒子间距离)



Lagrangian

拉式离散
(粒子)



NS方程

Navier-Stokes方程组描述了流体运动的规律

不可压条件 $\nabla \cdot \mathbf{v} = 0$

动量方程 $\rho \frac{D\mathbf{v}_i}{Dt} = \rho \mathbf{g} - \nabla p + \mu \nabla^2 \mathbf{v}$

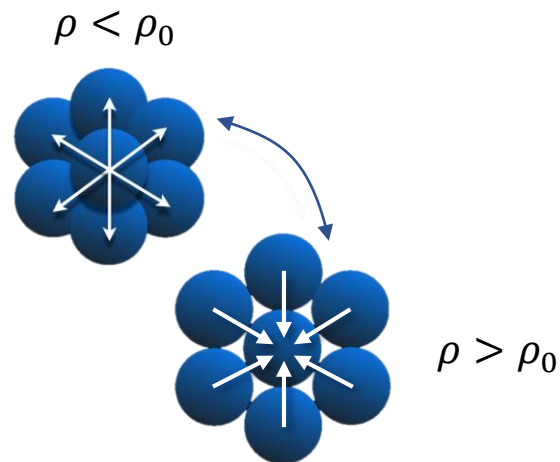
粒子加速度

压强力

基于位置的流体[7]

- 不可压性等价于密度平衡条件

$$\nabla \cdot \mathbf{v} = 0 \Leftrightarrow \rho = \rho_0$$





基于位置的流体

Navier-Stokes方程组描述了流体运动的规律

基于位置的流体[7]

- 不可压性等价于密度平衡条件

$$\nabla \cdot \mathbf{v} = 0 \Leftrightarrow \rho = \rho_0$$

- 密度平衡方程

$$C_i(\mathbf{p}_i, \dots, \mathbf{p}_j) = \frac{\rho_i}{\rho_0} - 1 \neq 0$$

- 雅可比迭代

1. 对每个约束

$$\mathbf{p} \leftarrow \mathbf{p} + \Delta \mathbf{p}_{C_i}$$

2. 牛顿法, 位置沿约束梯度下降

$$\Delta \mathbf{p} = \lambda \nabla C$$

雅可比迭代特点：

1. 一轮迭代仅依赖上轮迭代结果
2. 比高斯-赛德尔法慢2倍以上[10]
3. 易于并行！

[7] M. Macklin, et al., "Position based fluids," *ACM Trans. Graph.*, vol. 32, no. 4, p. 1, Jul. 2013.

[10] 同济大学计算数学教研室, *现代数值计算 (第2版)*, Second Edi. Beijing: 人民邮电出版社, 2014.



基于位置的流体

Navier-Stokes方程组描述了流体运动的规律

基于位置的流体[7]

- 不可压性等价于密度平衡条件

$$\nabla \cdot \mathbf{v} = 0 \Leftrightarrow \rho = \rho_0$$

- 密度平衡方程

$$C_i(\mathbf{p}_i, \dots, \mathbf{p}_j) = \frac{\rho_i}{\rho_0} - 1 \neq 0$$

- 雅可比迭代

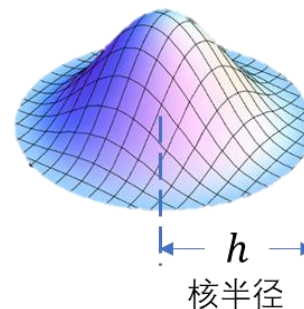
- 对每个约束

$$\mathbf{p} \leftarrow \mathbf{p} + \Delta \mathbf{p}_{C_i}$$

- 牛顿法, 位置沿约束梯度下降

$$\Delta \mathbf{p} = \lambda \nabla C$$

核函数



步长计算公式

$$\lambda_i = - \frac{C_i(\mathbf{p}_1, \dots, \mathbf{p}_n)}{\sum_{j \in \delta(\mathbf{p}_i)} \|\nabla_{\mathbf{p}_j} C_i\| + \epsilon}$$

位置更新公式

$$\mathbf{p}_i \leftarrow \mathbf{p}_i + \frac{1}{\rho_0} \sum_{j \in \delta(\mathbf{p}_i)} (\lambda_i + \lambda_j) \nabla W(\mathbf{p}_i - \mathbf{p}_j)$$

邻居查找



算法流程

- | | CUDA核函数 |
|--|------------------|
| 1. 预测新速度与位置 | |
| 1. $\mathbf{v}' \leftarrow \mathbf{v} + \Delta t \cdot \mathbf{g}$ | |
| 2. $\mathbf{p}' \leftarrow \mathbf{p} + \Delta t \cdot \mathbf{v}'$ | advectKernel |
| 2. 邻居查找预处理 | computeGridRange |
| 3. 密度修正迭代循环 | |
| 1. 计算位置修正系数 λ_i | computeLambda |
| 2. 计算 $\Delta \mathbf{p}_i$ | |
| 3. 更新 $\mathbf{p}'_i \leftarrow \mathbf{p}'_i + \Delta \mathbf{p}_i$ | computePos |
| 4. 边界处理 | |
| 4. 更新速度 $\mathbf{v} \leftarrow \frac{\mathbf{p}^* - \mathbf{p}}{\Delta t}$ | updateVelocity |
| 5. 更新位置 $\mathbf{p} \leftarrow \mathbf{p}^*$ | updatePositon |
| 6. 速度的粘着力修正 | |

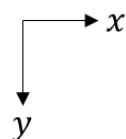
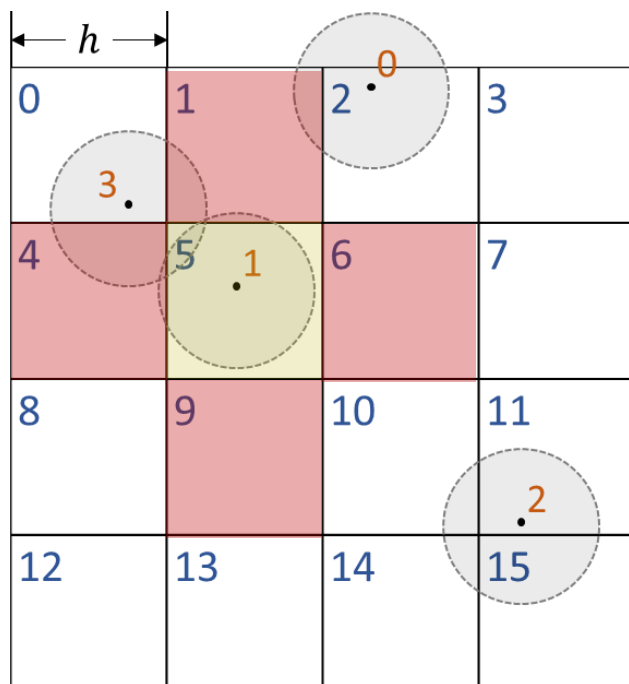
注：核函数以粒子作为并行级别



哈希网格邻居查找算法

将空间分割为边长为 h 的网格

查找粒子邻居时，查找周边网格内的粒子



$$\text{hash}(x,y)=\text{floor}(x/h) + \text{floor}(y/h) * \text{dim.x}$$

哈希函数 $\text{hash}(p)$
将空间位置映射到一个网格编号上

Grid ID	Particle ID
0	3
2	0
5	1
11	2

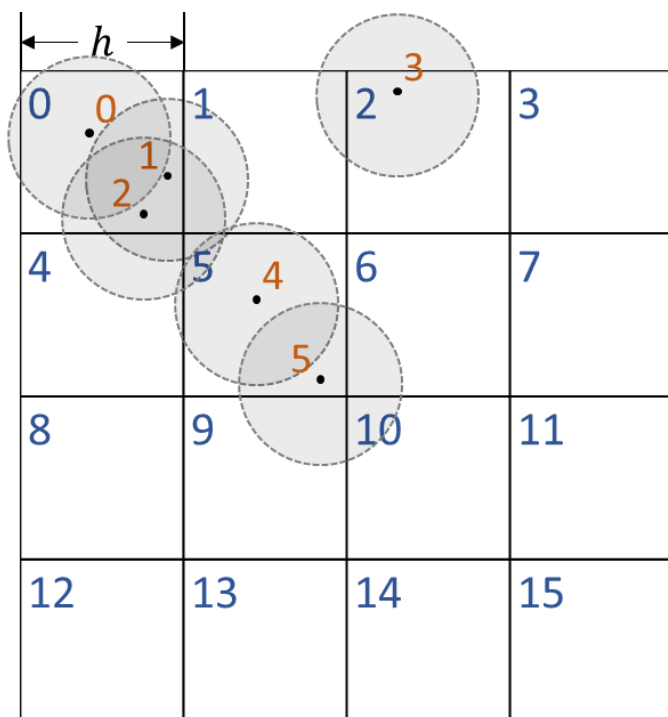


哈希网格邻居查找算法

将一个网格内的粒子重新连续编号

方法：将粒子按照网格编号排序，从头开始编号

查找网格内粒子：记录网格内首个、最后一个粒子的编号



New particle ID	Grid ID	gridStart	gridEnd
0	0	gridStart[0] = 0	
1		-	
2		-	gridEnd[0]=2
3	2	gridStart[2]=3	gridEnd[2]=3
4	5	gridStart[5]=4	
5		-	gridEnd[5]=5
...		...	

CUDA核函数
computeGridRange

串行： $O(n)$
并行： $O(1)$



内 容

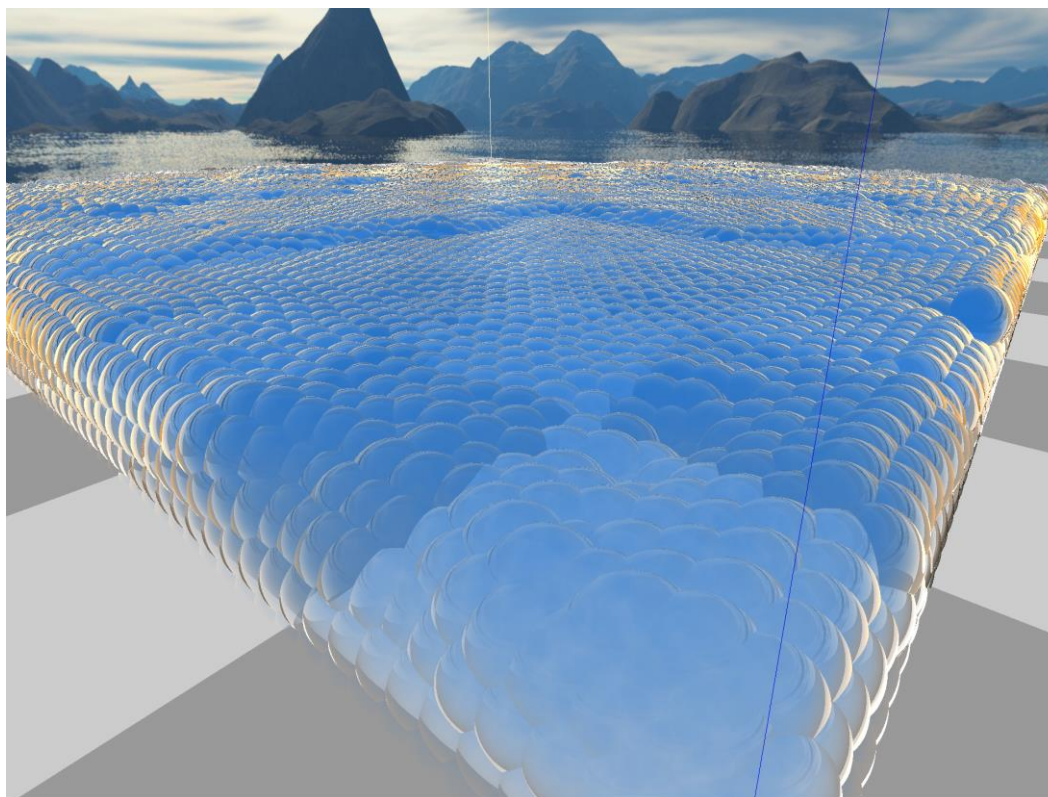
- 课题背景和工作概述
- 流体的并行化模拟
- 流体的并行化表面重建和渲染
- 演示



拉式液体的渲染

目标：渲染平滑的液体表面，减少“粒子感”

无平滑





拉式液体的渲染

目标：渲染平滑的液体表面，减少“粒子感”

传统方法：移动立方体（Marching Cubes）法[9]

- 从粒子位置生成密度分布
- 生成多边形等值曲面（Isosurface）
- 能够实现GPU上并行，但计算和编程复杂度较高

[9] William E. Lorensen, et al., 'Marching Cubes: A high resolution 3D surface construction algorithm'. In: Computer Graphics', Vol. 21, Nr. 4, July 1987



液体的屏幕空间渲染

目标：渲染平滑的液体表面，减少“粒子感”

屏幕空间渲染（Screen-space rendering）法[8]

- 将粒子深度、厚度信息渲染到屏幕空间纹理上
 - 对深度纹理进行平滑操作
 - 从深度纹理还原液体表面法向量
 - 对液体表面进行着色
-

传统方法：移动立方体（Marching Cubes）法[9]

- 从粒子位置生成密度分布
- 生成多边形等值曲面（Isosurface）
- 能够实现GPU上并行，但计算和编程复杂度较高

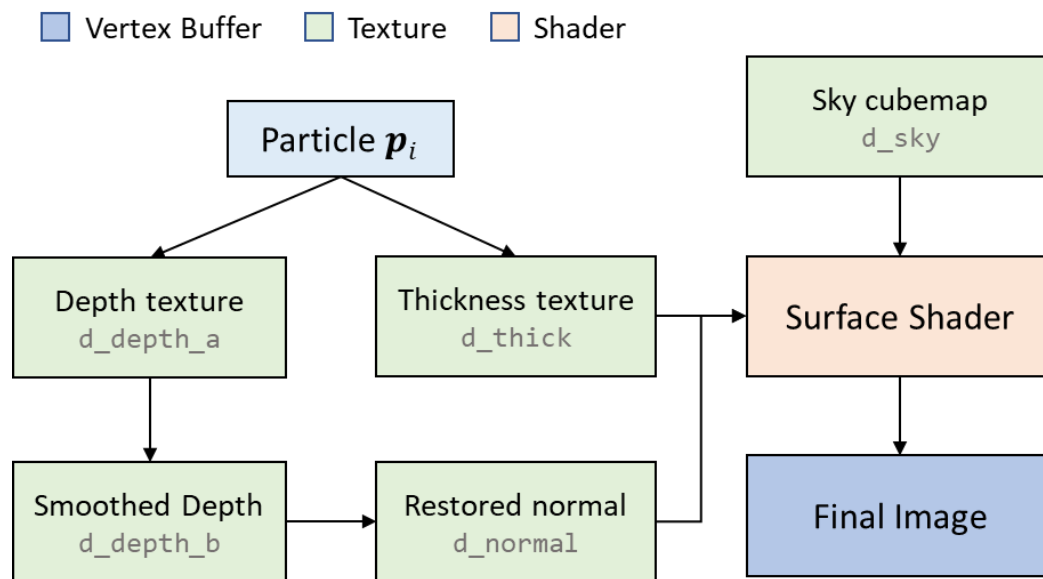
[8] W. J. van der Laan, et al., “Screen space fluid rendering with curvature flow,” I3D ’09, 2009, p. 91.

[9] William E. Lorensen, et al., ‘Marching Cubes: A high resolution 3D surface construction algorithm’. In: Computer Graphics’, Vol. 21, Nr. 4, July 1987



液体的屏幕空间渲染

算法流程



注：深度平滑与法向量重建过程包含大量计算，使用片元着色器完成。
也可使用CUDA或OpenGL compute shader完成，但增加了不必要的复杂性。

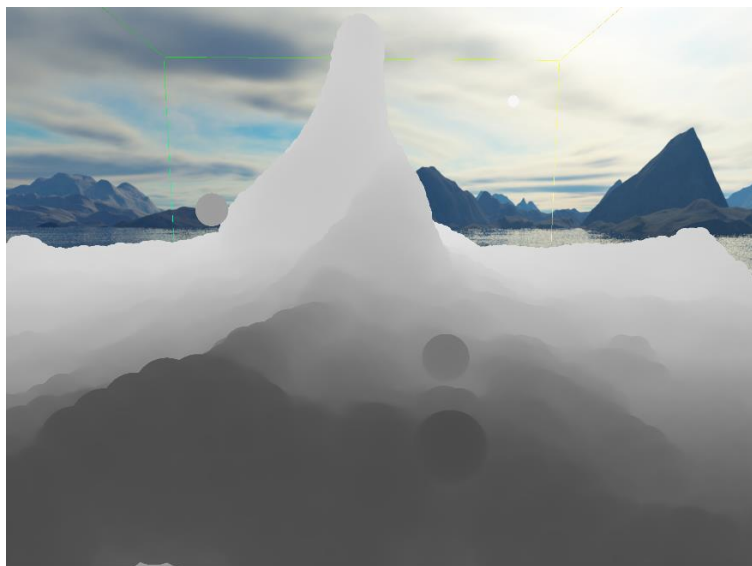


深度纹理

深度纹理

意义：每个像素堆叠的粒子个数

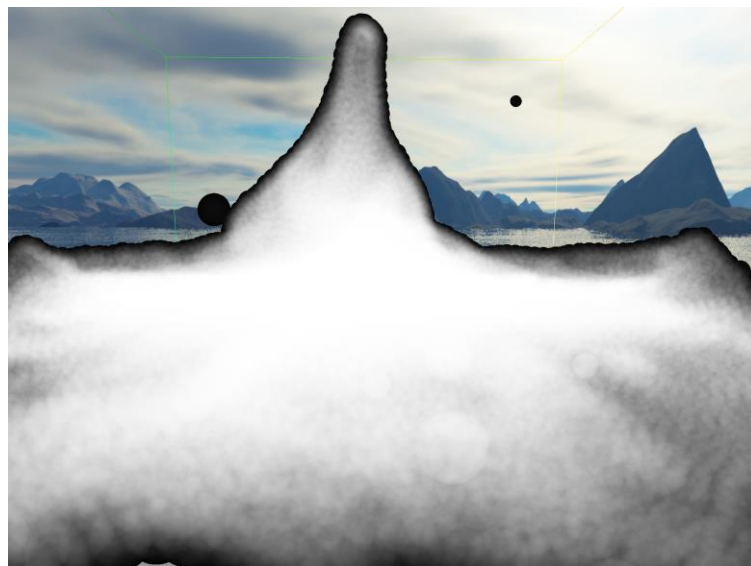
- 注1：开启深度测试
- 注2：粒子大小在世界坐标内不变，
渲染大小`gl_PointSize`随距离摄像机远近调整。



厚度纹理

输出：每个像素在摄像机空间的深度（z坐标）

- 注1：关闭深度测试，开启纹理加法混合
- 注2：粒子大小在世界坐标内不变，
渲染大小`gl_PointSize`随距离摄像机远近调整。





表面法向量重建

着色器 `restore_normal`

输入：深度纹理

输出：液体表面法向量

目标：法向量纹理（GL_RGB32F类型）

方法：

1. 深度纹理上任意一点 (s, t) 对应液体表面上一点 $\mathbf{P}(s, t) = (x, y, z)$
2. z 可从深度纹理中取出， (x, y) 可利用投影变换的逆变换从 (s, t) 得到
3. 根据微分几何，表面法向量等于表面位置在两方向上偏导的叉积

$$\mathbf{n}(s, t) = \frac{\partial \mathbf{P}}{\partial s} \times \frac{\partial \mathbf{P}}{\partial t}$$

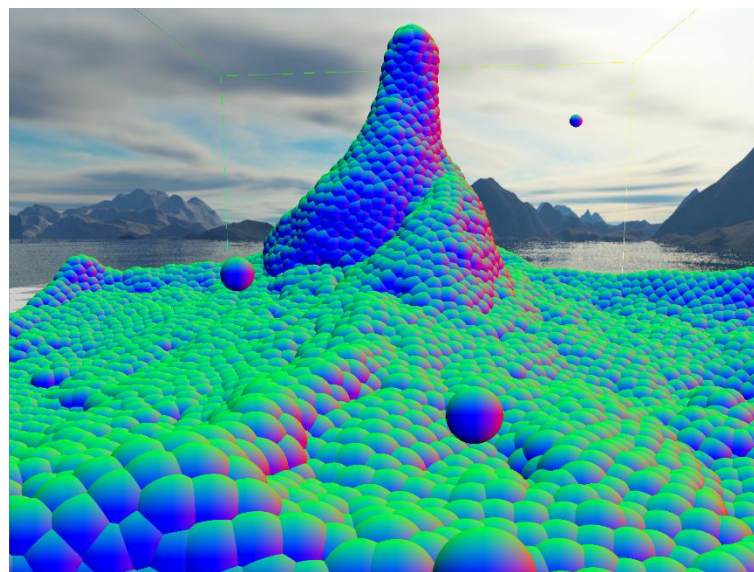
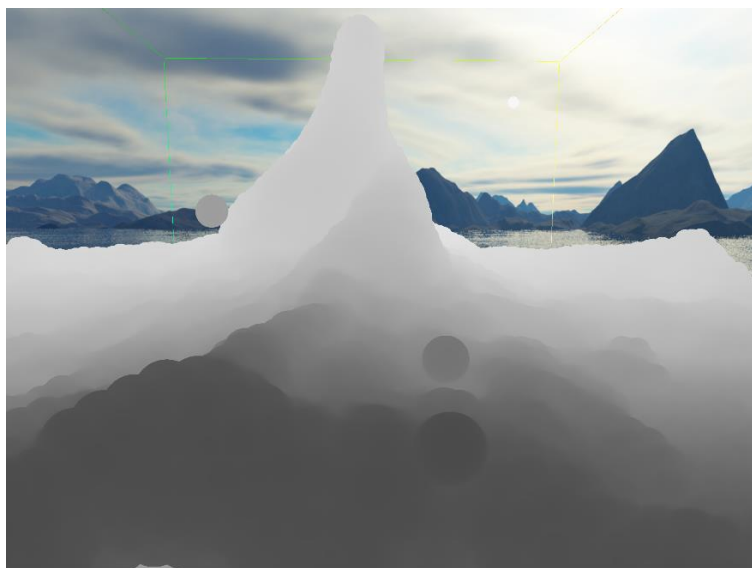
4. 利用一阶差分近似求偏导， Δs 是一个像素对应的纹理坐标差值

$$\frac{\partial \mathbf{P}}{\partial s} \approx \frac{\mathbf{P}(s + \Delta s, t) - \mathbf{P}(s, t)}{\Delta s}$$



表面法向量重建

重建结果

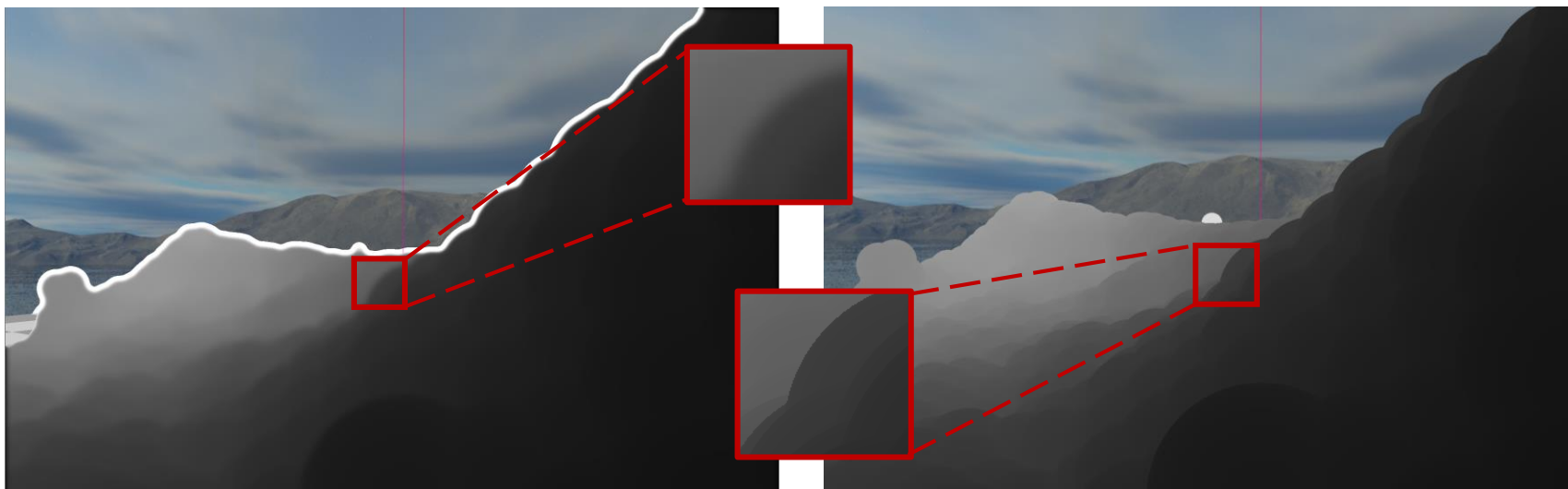




深度纹理平滑

为了表现平滑的液体表面效果，需要对深度纹理进行平滑
平滑操作：将邻近的像素加权平均

高斯模糊：错误的抹去了不连续的液体边缘！（应保留不连续的深度）





深度纹理平滑

为了表现平滑的液体表面效果，需要对深度纹理进行平滑
平滑操作：将邻近的像素加权平均

双边滤波：同时考虑位置差权重和深度差权重

滤波后深度

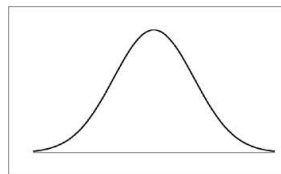
$$I^{\text{filter}}(x) = \frac{1}{W_p} \sum_{y \in \Omega} \overset{\text{深度}}{I(y)} \cdot \overset{\text{深度差权重}}{f_r(\|I(y) - I(x)\|)} \cdot \overset{\text{位置差权重}}{g_s(\|x - y\|)}$$

归一化因子

$$W_p = \sum_{y \in \Omega} f_r(\|I(y) - I(x)\|) g_s(\|x - y\|)$$

滤波核函数

$$f_r(d) = e^{-\sigma_r d}, \quad g_s(d) = e^{-\sigma_s d}$$

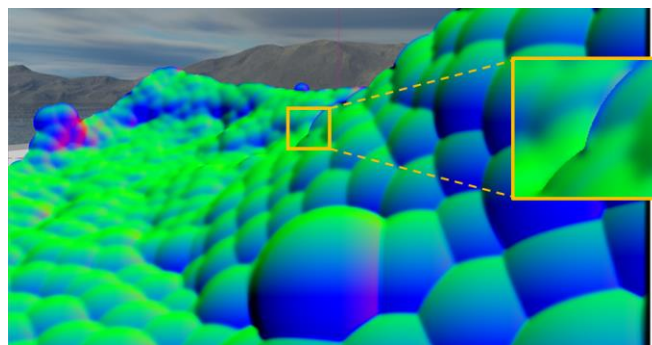


深度差越大，距离越远，
权重越小

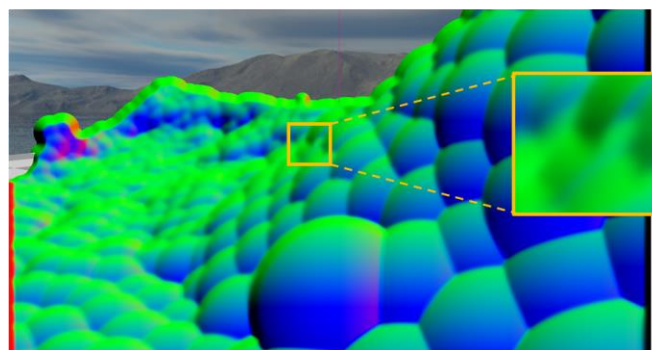
深度纹理平滑

平滑方法对比

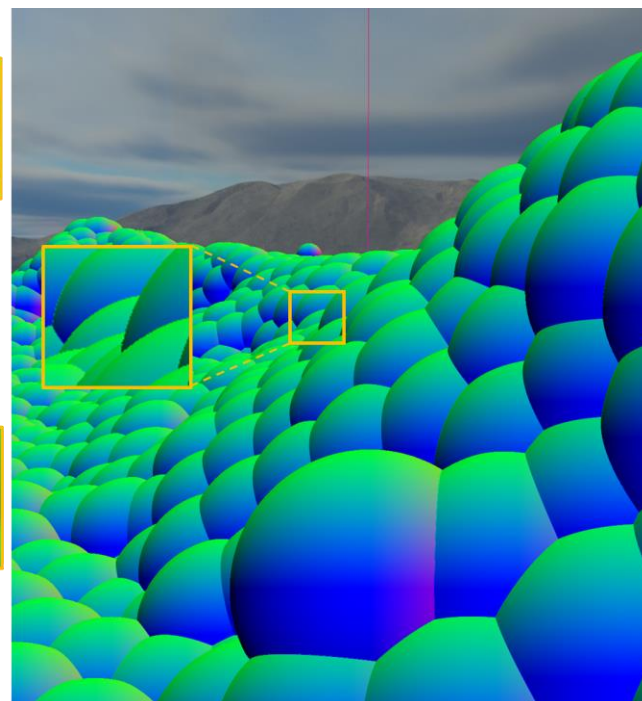
双边滤波



高斯模糊



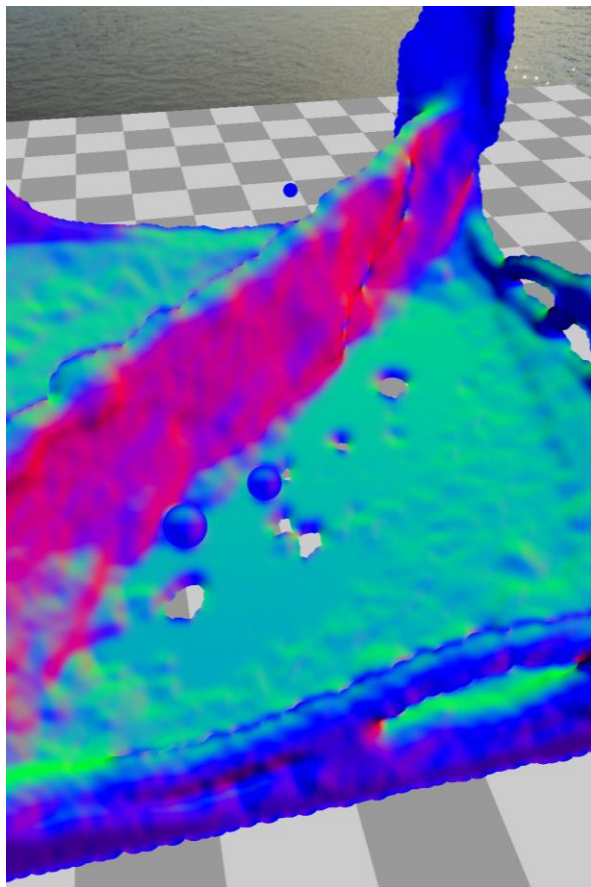
原法线图



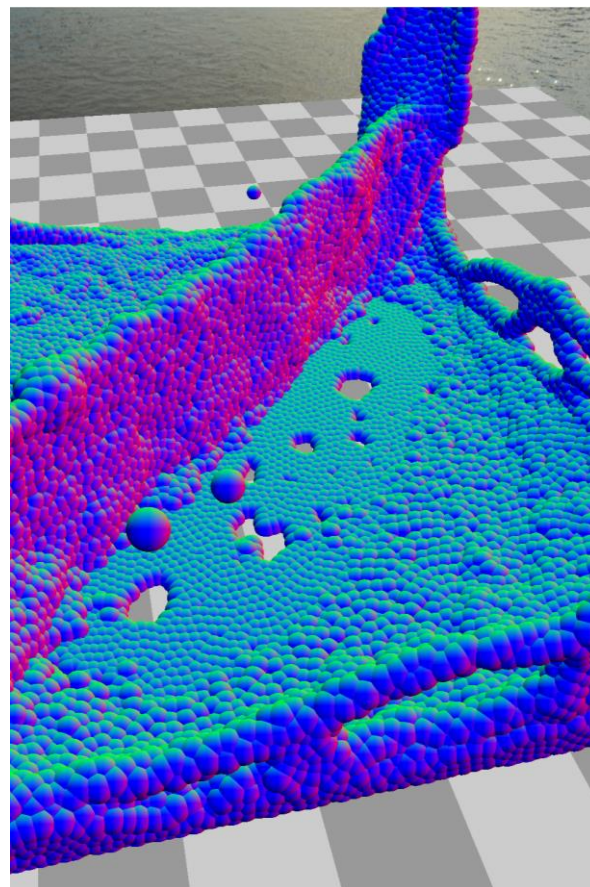


深度纹理平滑

平滑后



平滑前

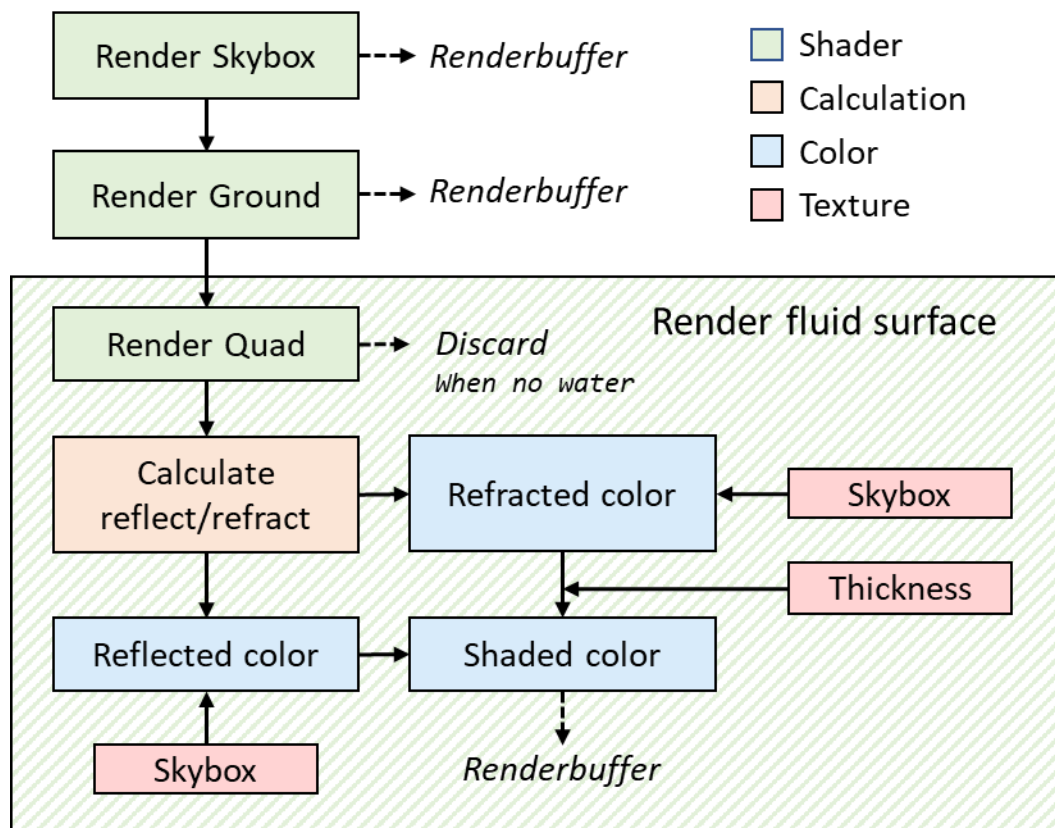




表面着色

得到平滑的液体表面法向量后，对其进行着色

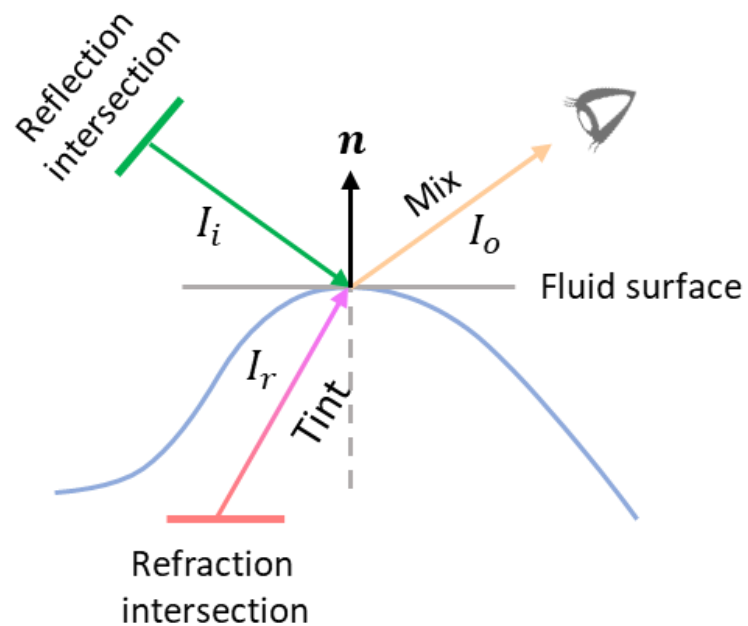
整个场景的渲染步骤如下所示





液体表面着色

液体表面的着色由折射光+反射光两部分混合而成
折射/反射的比例由菲涅尔方程给出



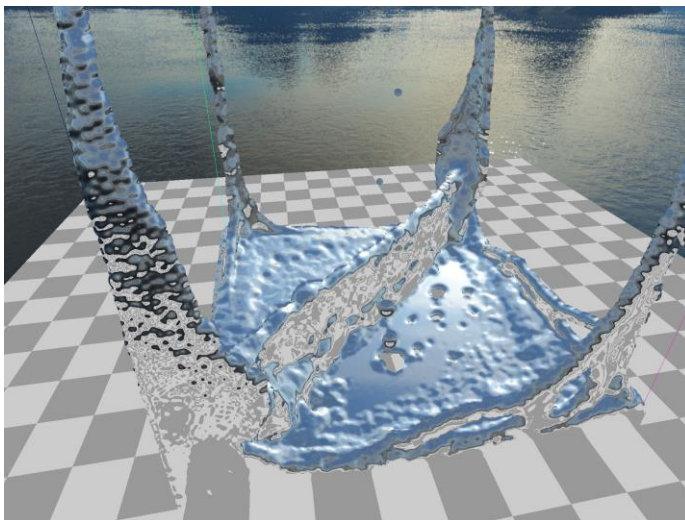


液体表面着色

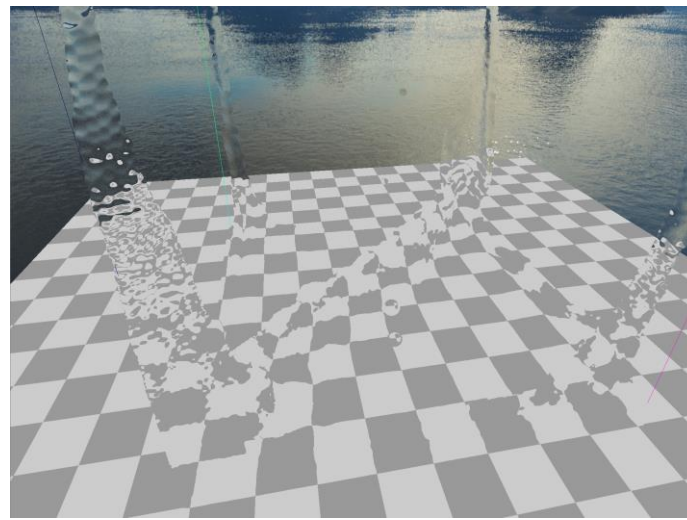
液体表面的着色由折射光+反射光两部分混合而成
折射/反射的比例由菲涅尔方程给出

光线追踪得到反射和光线的颜色

反射颜色



折射颜色





液体表面着色

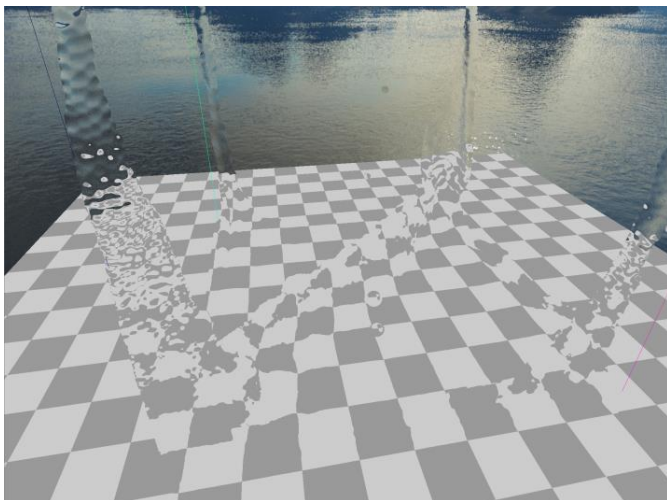
液体表面的着色由折射光+反射光两部分混合而成
折射/反射的比例由菲涅尔方程给出

考虑厚度：Beer-Lambert定律
液体透光率随着厚度增加指数减小

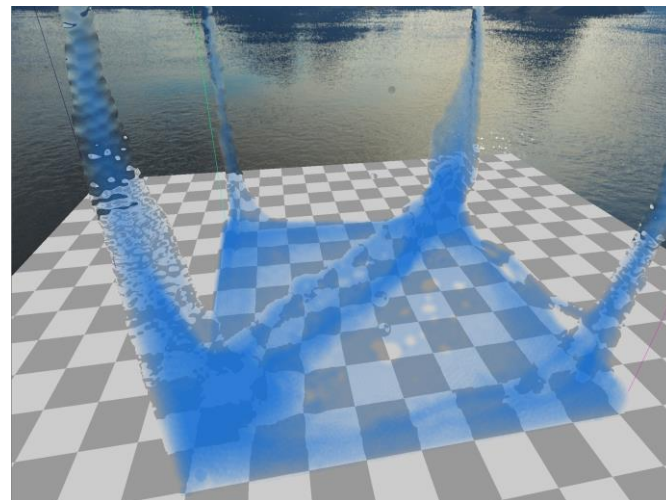
透光率 $A = \max(e^{-0.5 T}, 0.2)$
修正后折射颜色 $I'_r = AI_r + (1 - A)I_f$

T 厚度
 I_f 液体固有颜色

折射颜色



厚度染色



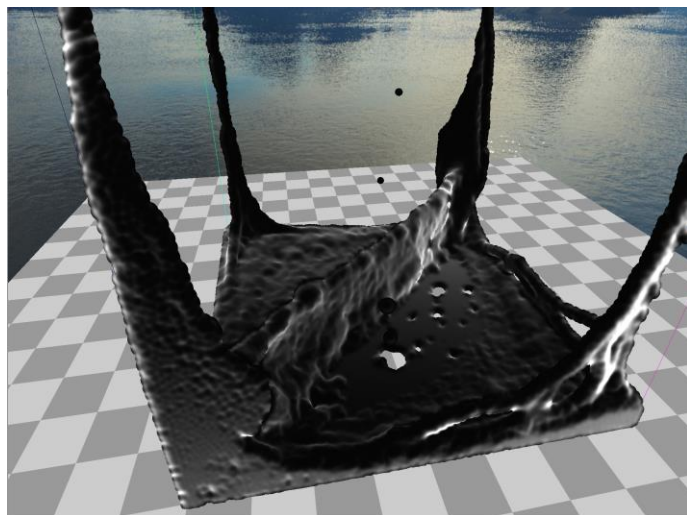
液体表面着色

液体表面的着色由折射光+反射光两部分混合而成
折射/反射的比例由菲涅尔方程给出

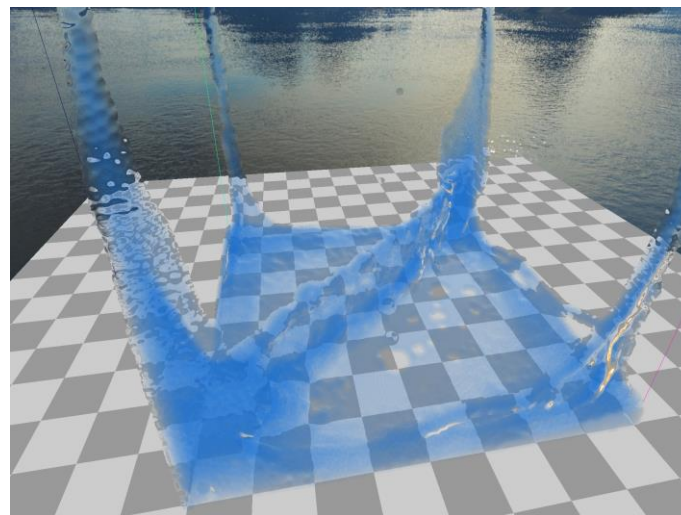
为了计算简便，使用菲涅尔定律的近似，Schlick公式

反射率 $R(\theta) = R_0 + (1 - R_0)(1 - \cos \theta)^5$

反射率



最终着色





内 容

- 课题背景和工作概述
- 流体的并行化模拟
- 流体的并行化表面重建和渲染
- 演示



谢谢

附加内容

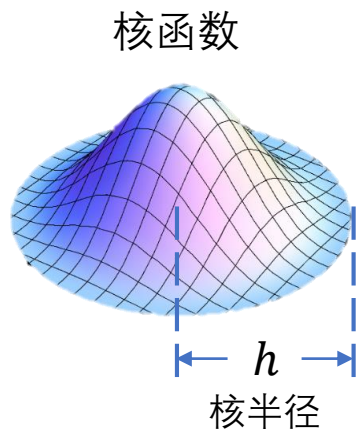




平滑粒子动力学

平滑粒子动力学 (Smoothed Particle Hydrodynamics, SPH)

将流体粒子表示为空间中一个径向对称的分布。即粒子的“势力范围”。



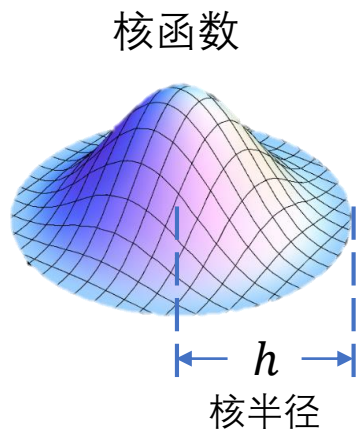
$$W_{poly6}(\mathbf{r}, h) = \frac{315}{64\pi h^9} \begin{cases} (h^2 - r^2)^3, & 0 \leq r \leq h \\ 0, & otherwise \end{cases}$$



平滑粒子动力学

平滑粒子动力学 (Smoothed Particle Hydrodynamics, SPH)

将流体粒子表示为空间中一个径向对称的分布。即粒子的“势力范围”。



$$W_{poly6}(\mathbf{r}, h) = \frac{315}{64\pi h^9} \begin{cases} (h^2 - r^2)^3, & 0 \leq r \leq h \\ 0, & otherwise \end{cases}$$

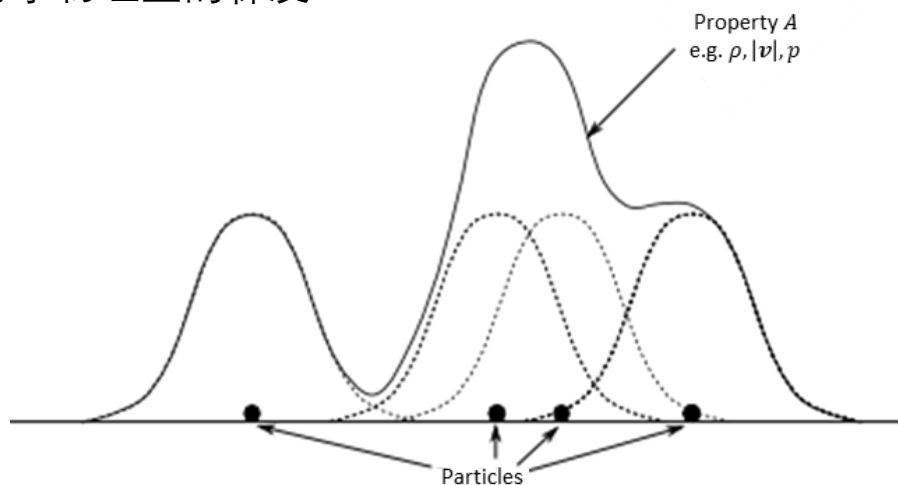


平滑粒子动力学

在粒子上记录的物理量

可估计空间中任意一点的物理量

可求物理量的梯度*



虚线：粒子上的物理量；实线：空间中的物理量

*求梯度时，Poly6核函数存在梯度消失的问题，
应使用Spiky核函数

液体密度的估计

$$\rho(\mathbf{r}_i) = \sum_{i=1}^N m_i W(\mathbf{r}_{ij})$$

液体速度的估计

$$\mathbf{v}(\mathbf{r}_i) = \sum_{j=1}^N \mathbf{v}_j W(\mathbf{r}_{ij})$$

密度的梯度

$$\nabla \rho(\mathbf{r}_i) = \sum_{i=1}^N m_i \nabla W(\mathbf{r}_{ij})$$



Navier-Stokes方程组

Navier-Stokes方程组描述了流体运动的规律

不可压条件 $\nabla \cdot \mathbf{v} = 0$

$$\text{动量方程} \quad \boxed{\rho \frac{D\mathbf{v}_i}{Dt}} = \overset{\text{重力}}{\boxed{\rho \mathbf{g}}} - \boxed{\nabla p} + \boxed{\mu \nabla^2 \mathbf{v}}$$

粒子加速度 压强力 粘性力

传统模拟方法无不可压条件
使用一个经验公式计算压强力



基于位置的流体

Macklin等人[7]注意到不可压条件的等效条件是密度平衡条件

$$\nabla \cdot \mathbf{v} = 0 \Leftrightarrow \rho = \rho_0$$

对每个粒子建立密度平衡约束

$$C_i(\mathbf{p}_i, \dots, \mathbf{p}_j) = \frac{\rho_i}{\rho_0} - 1 = 0$$

牛顿法更新粒子位置, 令 $\Delta \mathbf{p} = \lambda \nabla C$ 延 C_i 的梯度下降

$$\begin{aligned} C(\mathbf{p} + \Delta \mathbf{p}) &\approx C(\mathbf{p}) + \nabla C^T \Delta \mathbf{p} \\ &= C(\mathbf{p}) + \nabla C^T \nabla C \lambda = 0 \end{aligned}$$



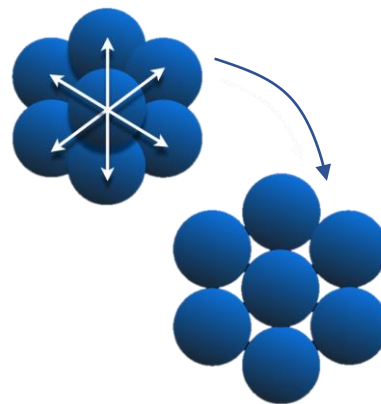
基于位置的流体

更新公式

$$\mathbf{p}_i \leftarrow \mathbf{p}_i + \frac{1}{\rho_0} \sum_{j \in \delta(\mathbf{p}_i)} (\lambda_i + \lambda_j) \nabla W(\mathbf{p}_i - \mathbf{p}_j)$$

$$\lambda_i = - \frac{C_i(\mathbf{p}_1, \dots, \mathbf{p}_n)}{\sum_{j \in \delta(\mathbf{p}_i)} \|\nabla_{\mathbf{p}_j} C_i\| + \epsilon}$$

稳定性修正
邻居查找



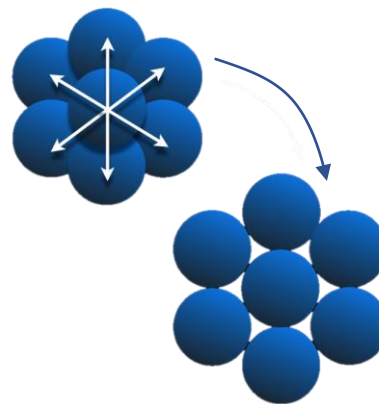


基于位置的流体

更新公式

$$\mathbf{p}_i \leftarrow \mathbf{p}_i + \frac{1}{\rho_0} \sum_{j \in \delta(\mathbf{p}_i)} (\lambda_i + \lambda_j) \nabla W(\mathbf{p}_i - \mathbf{p}_j)$$

$$\lambda_i = - \frac{C_i(\mathbf{p}_1, \dots, \mathbf{p}_n)}{\sum_{j \in \delta(\mathbf{p}_i)} \|\nabla_{\mathbf{p}_j} C_i\| + \epsilon}$$



更新方法

雅可比迭代：独立对每个约束进行求解

并行实现：使用两个CUDA核函数，首先计算 λ_i ，然后更新 \mathbf{p}_i 。



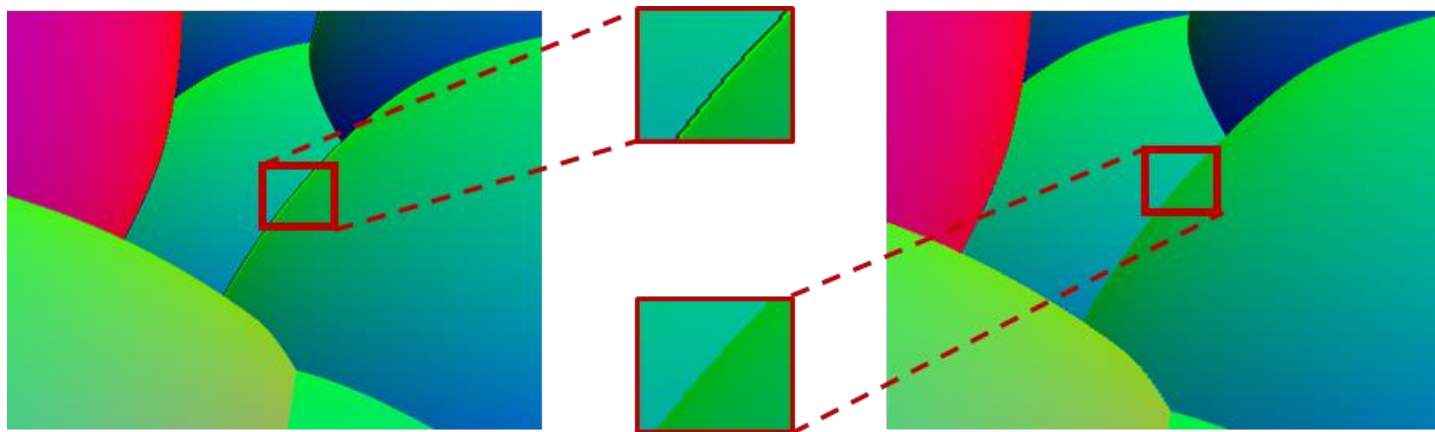
表面法向量重建

4. 利用一阶差分近似求偏导。不连续处失效！

$$\frac{\partial P}{\partial s} \approx \frac{P(s + \Delta s, t) - P(s, t)}{\Delta s}$$

5. 选择连续一侧的偏导

$$\frac{\partial P}{\partial s} \approx \min \left(\frac{P(s + \Delta s, t) - P(s, t)}{\Delta s}, \frac{P(s, t) - P(s - \Delta s, t)}{\Delta s} \right)$$



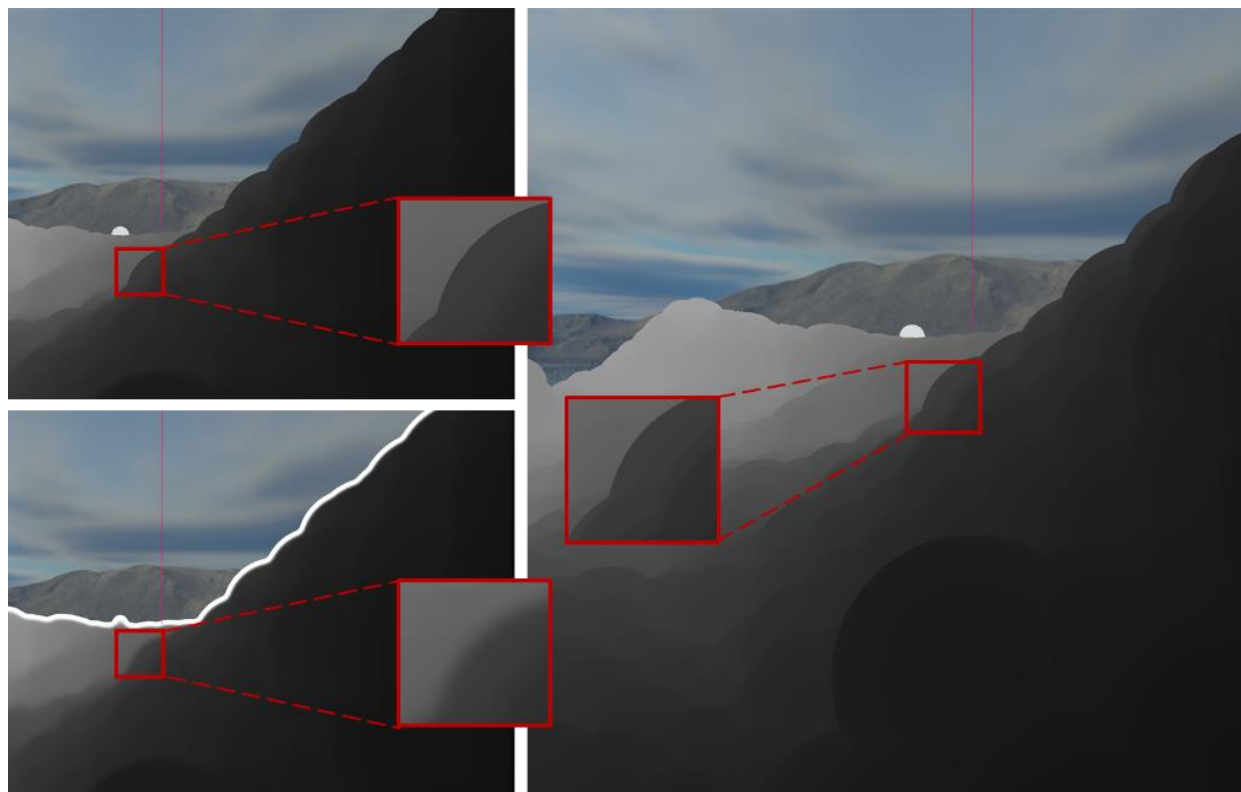


深度纹理平滑

平滑结果

原深度图

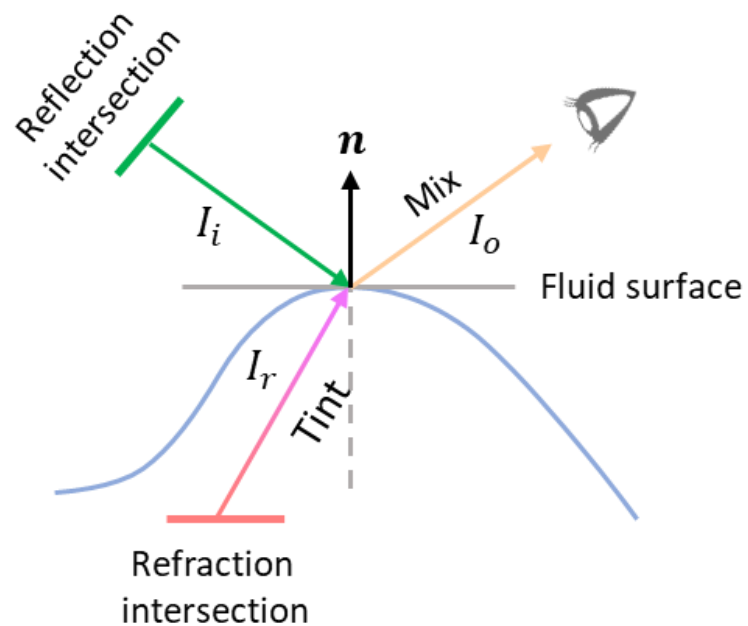
双边滤波





液体表面着色

液体表面的着色由折射光+反射光两部分混合而成
折射/反射的比例由菲涅尔方程给出





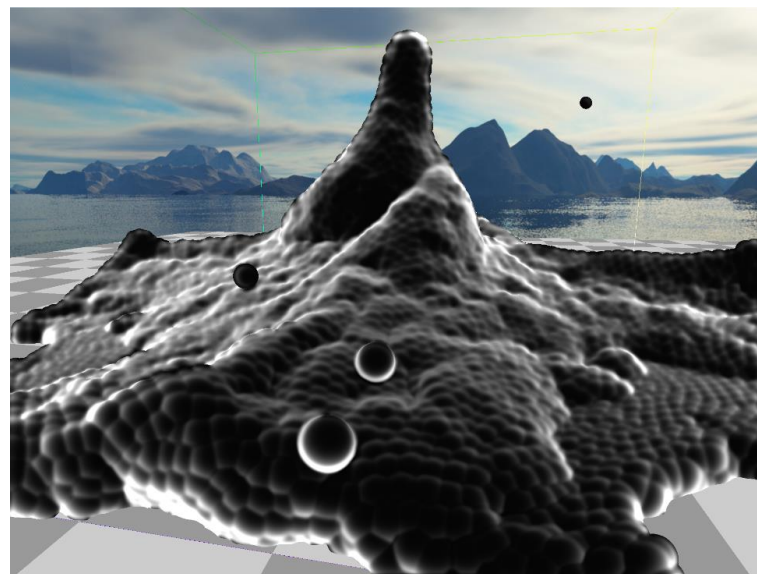
液体表面着色

液体表面的着色由折射光+反射光两部分混合而成
折射/反射的比例由菲涅尔方程给出

为了计算简便，使用菲涅尔定律的近似，Schlick公式

反射率 $R(\theta) = R_0 + (1 - R_0)(1 - \cos \theta)^5$

$$R_0 = \left(\frac{n_1 - n_2}{n_1 + n_2} \right)^2$$



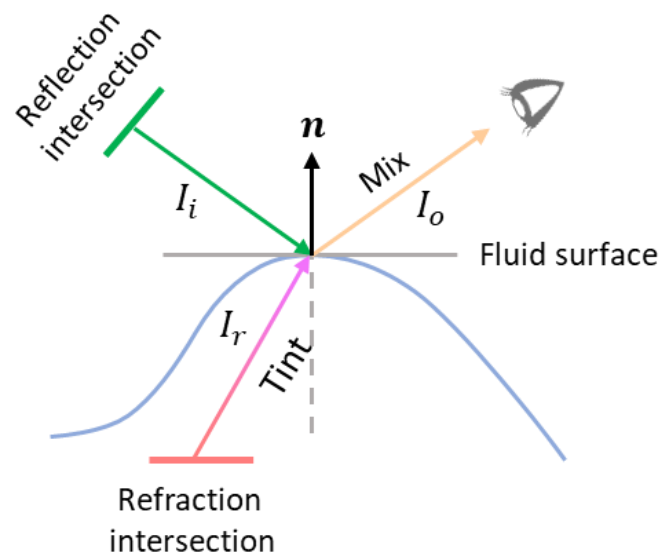


液体表面着色

液体表面的着色由折射光+反射光两部分混合而成
折射/反射的比例由菲涅尔方程给出

反射光线 $\hat{l}_i = -\hat{l}_o + 2\mathbf{n}$

使用光线追踪求解反射光线的颜色
忽略中间经过的液体
最终光线来源：天空盒 / 棋盘格地面





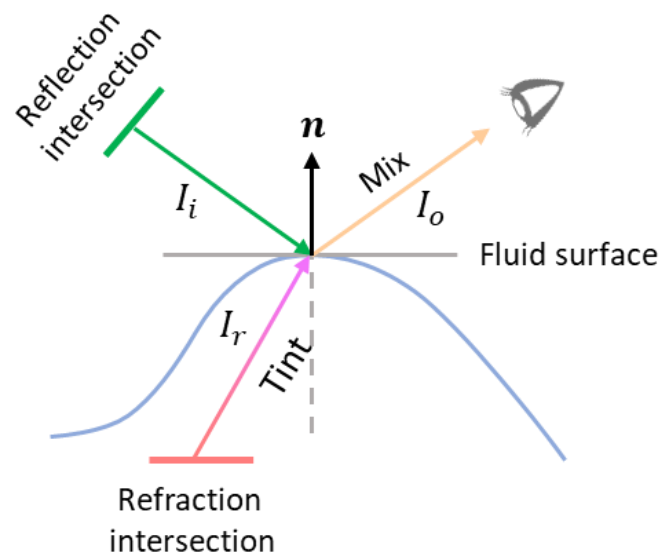
液体表面着色

液体表面的着色由折射光+反射光两部分混合而成
折射/反射的比例由菲涅尔方程给出

折射光线 $\hat{l}_r = -\hat{l}_o - c \cdot n$

HACK : 出射光线的反向，向法向做微小偏移

使用光线追踪求解折射光线的颜色
忽略中间经过的液体
最终光线来源：天空盒 / 棋盘格地面





液体表面着色

液体表面的着色由折射光+反射光两部分混合而成
折射/反射的比例由菲涅尔方程给出

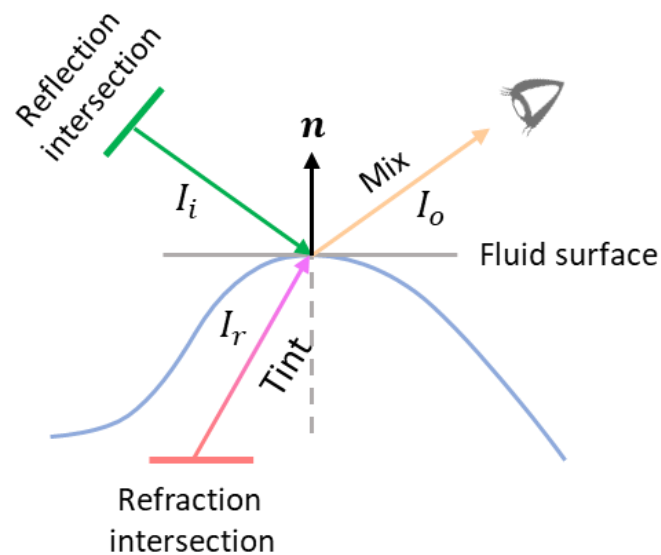
考虑厚度：Beer-Lambert定律

液体透光率随着厚度增加指数减小

$$\text{透光率 } A = \max(e^{-0.5 T}, 0.2)$$

$$\text{修正后折射颜色 } I'_r = A I_r + (1 - A) I_f$$

T 厚度, I_f 液体固有颜色





基于位置的流体

Navier-Stokes方程组描述了流体运动的规律

基于位置的流体[7]

- 不可压性等价于密度平衡条件

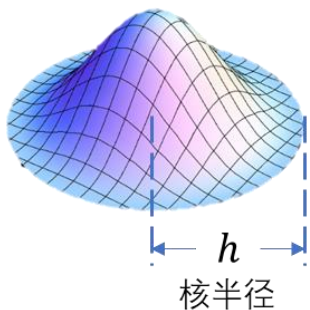
$$\nabla \cdot \mathbf{v} = 0 \Leftrightarrow \rho = \rho_0$$

- 密度平衡方程

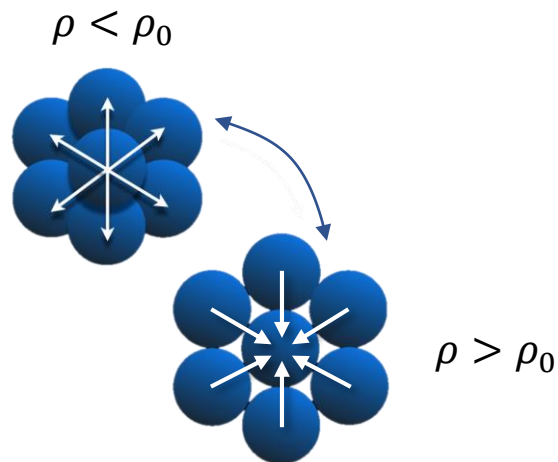
$$C_i = \frac{\rho_i}{\rho_0} - 1 = 0$$

- 密度计算：周围粒子的质量贡献

核函数



$$m_i = \int m_i W dV = 1$$



[7] M. Macklin, et al., "Position based fluids," *ACM Trans. Graph.*, vol. 32, no. 4, p. 1, Jul. 2013.



哈希网格邻居查找算法

将一个网格内的粒子重新连续编号

方法：将粒子按照网格编号排序，从头开始编号

⇒ 一个网格内粒子编号连续

